

УДК 532.51.013.4:537.5

К МЕХАНИЗМУ РАЗВИТИЯ НЕУСТОЙЧИВОСТИ КАПЛИ ЖИДКОСТИ В ЭЛЕКТРИЧЕСКОМ ПОЛЕ

ГРИГОРЬЕВ А. И., СИНКЕВИЧ О. А.

Неустойчивость поверхности жидкости в электрическом поле, проявляющаяся в образовании на ней конических выступов, из которых бьют струйки, распадающиеся на мелкие заряженные капельки, давно привлекает к себе исследователей в связи с проблемой разделения зарядов в грозовых облаках [1]. Эта неустойчивость была обнаружена еще в середине XVIII в. [2], а первый теоретический анализ неустойчивости заряженной капли был выполнен Рэлеем в конце прошлого века [3]. Несмотря на обилие экспериментальных и теоретических работ, общее число которых измеряется сотнями, ясности в характере развития неустойчивости нет.

Согласно представлениям [3], переносимым обычно с заряженной капли на каплю в поле, неустойчивость капли жидкости во внешнем электрическом поле связана с неустойчивостью мод капиллярных волн более высоких, чем основная. Однако, как отмечено в [4], для возбуждения в капле высоких мод капиллярных волн согласно модели [3] требуется значительно более сильное внешнее поле E_0 , чем для возбуждения основной моды. В экспериментах [4–10] выброс струй наблюдается при некоторой выдержке во времени при напряженности поля, соответствующей появлению неустойчивости основной моды. Поэтому для объяснения экспериментальных фактов Тейлор [4] предложил феноменологическую модель, сводящуюся к вытягиванию внешним полем струй из вершин конических выступов на поверхности жидкости. Механизм образования этих конических выступов в [4] не рассматривался. Покажем, рассматривая возбуждение неустойчивости высоких мод капиллярных волн на поверхности с меняющейся во времени кривизной, что возражения Тейлора против модели Рэлея несостоятельны: высокие моды могут возбуждаться в том же внешнем поле, что и основная мода, если учесть зависимость напряженности электрического поля у поверхности капли от ее кривизны.

1. Пусть неподвижная идеально проводящая капля радиуса R несжимаемой невязкой жидкости в непроводящей, идеальной, несжимаемой среде с диэлектрической проницаемостью, равной единице, находится в однородном электрическом поле E_0 . Равновесная форма такой капли во внешнем поле близка к эллипсоиду вращения, вытянутому вдоль поля [11–13]. Примем форму капли эллипсоидальной (e – эксцентриситет) и будем в приближении $e^2 \ll 1$ решать в сферической системе координат, связанной с центром капли, задачу об устойчивости во внешнем поле E_0 капиллярных волн, существующих в капле уже в силу теплового движения молекул [14].

Уравнение эллипсоида, вытянутого вдоль поля (полярный угол отсчитывается от E_0), имеет вид

$$\eta(\theta) = \frac{r(\theta)}{a} = \frac{\sqrt{1-e^2}}{\sqrt{1-e^2 \cos^2 \theta}}$$

где a , e^2 – большая полуось эллипса и квадрат его эксцентриситета.

Пусть в капле и окружающей среде существует движение бесконечно малой амплитуды с потенциалами скоростей $\psi_i(r, \theta, \varphi, t)$ ($i=1$ внутри, $i=2$ вне капли), приводящее к искажению ее формы $r(\theta, \varphi, t) = r(\theta) +$

$+\xi(\theta, \varphi, t)$; $|\xi| \ll R$. Потенциалы ψ_i , а также потенциал Φ электрического поля вне капли являются гармоническими функциями, удовлетворяющими на поверхности капли следующим граничным условиям [12, 15]:

$$\Delta\psi_i=0; \quad i=1,2; \quad \Delta\Phi=0 \quad (1.1)$$

$$\frac{\partial\psi_1}{\partial n_1}=-\frac{\partial\psi_2}{\partial n_2}=\frac{\partial\psi}{\partial n}; \quad \frac{\partial\xi}{\partial t} \approx \frac{\partial\psi}{\partial n} \quad (r=r(\theta)) \quad (1.2)$$

$$\Phi(r(\theta)+\xi(\theta, \varphi, t))=0 \quad (1.3)$$

$$\Delta p=-\rho_1 \frac{\partial\psi_1}{\partial t}+\rho_2 \frac{\partial\psi_2}{\partial t}+f(\theta)=\sigma\left(\frac{1}{R'}+\frac{1}{R''}\right) \quad (1.4)$$

где f — общее давление, оказываемое на границу раздела внешним и возмущенным электрическими полями, σ — коэффициент поверхностного напряжения, R' и R'' — главные радиусы кривизны поверхности в данной точке. Все производные в (1.2)–(1.4) отнесены к невозмущенной поверхности эллипсоида, а в приближении $e^2 \ll 1$ — к поверхности сферы радиуса R . В том же приближении $e^2 \ll 1$ в граничных условиях (1.2) производные по нормали к поверхности $\partial\psi/\partial n$ можно заменить на $\partial\psi/\partial r$ — производные по радиальной координате.

В сферических координатах при $e^2 \ll 1$ в линейном по ξ/R приближении лапласовское давление под искаженной волновым движением эллипсоидальной поверхностью имеет вид

$$\sigma\left(\frac{1}{R'}+\frac{1}{R''}\right)=-\sigma\left\{\frac{2}{R^2}-\frac{1}{R^2}L^+\right\}\xi-\frac{\sigma}{R^2}e^2[3(1+e^2)\sin^2\theta-2]\xi \quad (1.5)$$

Здесь L^+ — оператор Лежандра (угловая часть оператора Лапласа в сферических координатах, взятая со знаком минус). Первое слагаемое в (1.5) — давление под искаженной сферической поверхностью [15], второе слагаемое представляет собой добавку, связанную с эллипсоидальностью капли.

2. Для потенциалов скоростей ψ_i , потенциала электрического поля Φ и возмущения ξ полагаем: $\psi_1, \psi_2, \Phi, \xi \sim \exp(i\omega t)$. Подставляя такую временнюю зависимость в (1.4) с учетом (1.5) и дифференцируя полученное соотношение один раз по t при постоянных θ, φ , получим в линейном по ξ/R приближении с учетом граничных условий (1.2)

$$(\rho_1\psi_1-\rho_2\psi_2)\omega^2+\frac{\partial f}{\partial t}+\frac{\sigma}{R^2}\{2-L^+\}\frac{\partial\psi}{\partial r}+\frac{2\sigma e^2}{R^2}[3(1+e^2)\sin^2\theta-2]\frac{\partial\psi}{\partial r}=0 \quad (r=R) \quad (2.1)$$

Выражение для частной производной по времени от давления электростатического поля на поверхность слaboэллипсоидальной капли записывается в линейном по ξ/R приближении в виде

$$\frac{\partial f}{\partial t}=\frac{\partial}{\partial t}\left[\frac{E^2}{8\pi}\right]_{r=r(\theta)+\xi(\theta,\varphi,t)} \approx \frac{\partial}{\partial t}\left[\frac{1}{8\pi}\frac{\partial E_*^2}{\partial r}\right]_{r=r(\theta)}\xi+\frac{1}{4\pi}E_*\delta E \quad (2.2)$$

Представляя $\Phi=\Phi_*+\delta\Phi$; $E_*=-\nabla\Phi_*$; $\delta E=-\nabla(\delta\Phi)$, из (1.1)–(1.3) получим

$$r=r(\theta): \quad \delta\Phi \approx \xi \frac{\partial\Phi_*}{\partial r} \approx -\xi E_* \quad (2.3)$$

где Φ_* и E_* — потенциал и напряженность электростатического поля у невозмущенной эллипсоидальной поверхности. Используя (2.3), преобра-

зумеем (2.2) к виду

$$\frac{\partial f}{\partial t} = \frac{E_*^2}{4\pi} \frac{\partial^2 \xi}{\partial r \partial t} \Big|_{r=r(\theta)} \approx \frac{E_*^2}{4\pi} \frac{\partial^2 \psi}{\partial r^2} \Big|_{r=R}$$

Подставляя сюда явное выражение для напряженности поля у поверхности проводящего эллипсоида вращения, вытянутого по полю [12], найдем

$$r=R: \quad \frac{\partial f}{\partial t} = E_0^2 K \frac{(1-e^2) \eta^2 \cos^2 \theta}{1-e^2 \eta^2 \cos^2 \theta} \frac{\partial^2 \psi}{\partial r^2}$$

$$K = \frac{1}{4\pi} \left\{ \frac{e^3}{(1-e^2)(\ln \sqrt{\alpha} - e)^2} \right\}^2, \quad \alpha = \frac{1+e}{1-e} \quad (2.4)$$

В приближении $e^2 \ll 1$ это соотношение можно разложить по степеням $\cos^2 \theta$ и, ограничившись первыми двумя членами, представить в виде

$$\frac{\partial f}{\partial t} \approx E_0^2 K \cos^2 \theta \{ [1-2e^2(1-e^2)] + 2e^2(1-e^2) \cos^2 \theta \} \frac{\partial^2 \psi}{\partial r^2} \quad (2.5)$$

3. Из условий ограниченности потенциала в центре капли и при $r \rightarrow \infty$ пусть $\psi_i(\theta, \varphi)$ внутри и вне капли имеют вид

$$\psi_1(\theta, \varphi) = \sum_{n=1}^{\infty} \sum_{m=-n}^n A_n{}^m r^n Y_n{}^m, \quad \psi_2(\theta, \varphi) = \sum_{n=0}^{\infty} \sum_{m=-n}^n B_n{}^m r^{-(n+1)} Y_n{}^m \quad (3.4)$$

Удовлетворяя граничным условиям (1.2), найдем связь между $A_n{}^m$ и $B_n{}^m$, учитывая, что мода с $n=0$ соответствует радиальным пульсациям капли, невозможным в несжимаемой жидкости, а мода с $n=1$ — ее движению как целого

$$B_0 = B_1{}^m = A_1{}^m = 0; \quad B_n{}^m = \frac{n}{n+1} R^{2n+1} A_n{}^m \quad (n \geq 2) \quad (3.2)$$

Подставим (2.5) — (3.2) в (2.1) и, учитывая, что $Y_n{}^m$ являются собственными функциями оператора L^+ , получим, переходя к безразмерным переменным

$$\begin{aligned} \sum_{n,m} C_n{}^m Y_n{}^m \{ \delta_n z^2 - E_n \} &= - \sum_{n,m} C_n{}^m Y_n{}^m n \cos^2 \theta \times \\ &\times \{ [\varepsilon + (n-1)(1-h)Kv] + (n-1)hKv \cos^2 \theta \} \\ C_n{}^m &= A_n{}^m R^n; \quad \delta_n = 1 + \frac{n}{n+1} \frac{\rho_2}{\rho_1}; \quad z^2 = \omega^2 \frac{R^3 \rho_1}{\sigma} \\ \varepsilon &= 6e^2(1+e^2); \quad E_n = n(n-1)(n-2) + \frac{1}{3} \varepsilon (1+3e^2)n \\ v &= \frac{E_0 R}{\sigma}; \quad h = 2e^2(1-e^2) \end{aligned} \quad (3.3)$$

Правую часть (3.3) распишем с учетом известного рекуррентного соотношения для $\cos^2 \theta Y_n{}^m(\theta, \varphi)$ (см., например, [17], с. 542) и, приравнивая коэффициенты при сферических функциях одного порядка, получим систему алгебраических уравнений для определения $C_n{}^m$.

$$\begin{aligned} C_n{}^m \{ -\delta_n z^2 + E_n - [\varepsilon n s_n{}^m + n(n-1)Kv \{ s_n{}^m - h(s_n{}^m - f_n{}^m) \}] \} &= \\ = Kv h (C_{n-4}^m q_n{}^m + C_{n+4}^m a_n{}^m) + C_{n-2}^m \{ \varepsilon \xi_n{}^m + (n-3)Kv [\xi_n{}^m - h(\xi_n{}^m - d_n{}^m)] \} (n-2) + \\ + C_{n+2}^m \{ \varepsilon x_n{}^m + (n+1)Kv [x_n{}^m - h(x_n{}^m - b_n{}^m)] \} (n+2) \end{aligned} \quad (3.5)$$

$$x_n{}^m = \frac{1}{2n+3} \sqrt{\frac{[(n+1)^2 - m^2][(n+2)^2 - m^2]}{(2n+1)(2n+5)}}$$

$$\xi_n^m = \frac{1}{2n-1} \sqrt{\frac{[(n-1)^2 - m^2](n^2 - m^2)}{(2n-3)(2n+1)}}$$

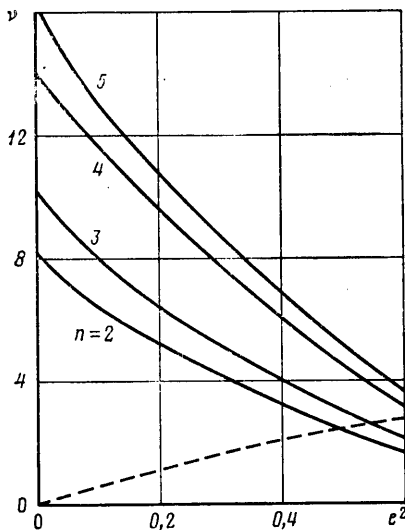
$$s_n^m = \frac{2n^2 + 2n - 2m^2 - 1}{(2n-1)(2n+1)}; \quad d_n^m = \xi_n^m (s_n^m + s_{n-2}^m)$$

$$f_n^m = n(x_n^m \xi_{n+2}^m + s_n^m s_{n-2}^m + \xi_n^m x_{n-2}^m) \quad (3.6)$$

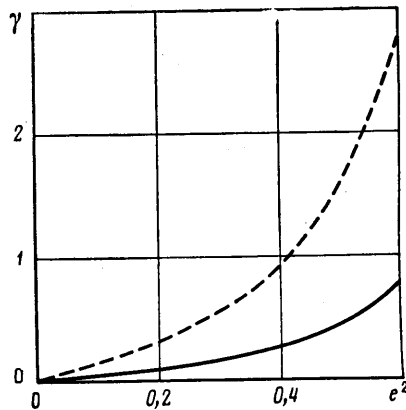
$$q_n^m = (n-4)(n-5)\xi_n^m \xi_{n-2}^m$$

$$a_n^m = x_n^m x_{n+2}^m (n+3)(n+4); \quad b_n^m = x_n^m (s_n^m + s_{n+2}^m)$$

4. Требуя обращения в нуль определителя системы (3.5), получим дисперсионное уравнение относительно e^2 , определяющее спектр капиллярных волн в капле при изменении параметров ϵ , h , K , v . Приравнивая нулю свободный член дисперсионного уравнения, найдем критические условия появления неустойчивости в виде $v=v(e^2)$, так как ϵ , h и K являются функциями только от e^2 .



Фиг. 1



Фиг. 2

Система (3.5) бесконечная и дисперсионное уравнение также будет бесконечного порядка. Критические условия будем искать методом последовательных приближений: рассматривая два, три, четыре и т. д. уравнений.

На фиг. 1 сплошными линиями представлены результаты численного расчета по (3.5) критических условий появления неустойчивости для первых четырех осесимметричных мод. Расчетные значения v при e^2 , не удовлетворяющих условию $e^2 < 1$, приведены, чтобы проиллюстрировать основную тенденцию изменения критических значений параметра v при увеличении e^2 , хотя ясно, что с увеличением e^2 расчеты по полученным выше соотношениям дают заниженные значения v . При $e^2=0$ расчетные значения точно соответствуют критическим условиям появления неустойчивости во внешнем электрическом поле для капиллярных волн в сферической капле.

Критические условия появления неустойчивости сильно зависят от эксцентриситета капли, который определяется величиной внешнего поля.

На фиг. 1 штриховой линией нанесена зависимость квадрата эксцентрикитета равновесной капли от параметра v : $e^2 = e^2(v)$, полученная по данным [11]. Неустойчивость основной моды с $n=2$ как раз и соответствует вытягиванию капли в эллипсоид [13]. Причем при достижении критического параметра $v=v_*$ ($n=2$) и вследствие развития неустойчивости эксцентрикитет капли увеличивается, так что достигнутое значение параметра v станет уже закритическим. Это означает, что неустойчивость будет развиваться и дальше. Как только эксцентрикитет достигнет величины, при которой критическое значение для третьей моды сравняется с v_* , станет неустойчивой третья мода. Дальнейший рост эксцентрикитета вызовет неустойчивость четвертой, пятой и более высоких мод, что соответствует наблюдаемому в экспериментах. Тем самым теория Рэлея вопреки замечанию [6] не противоречит эксперименту.

Само критическое значение параметра $v=v_*$, при котором произойдут описанные явления, определится из фиг. 1 пересечением нижней сплошной кривой ($n=2$), дающей критические значения v для основной модели, и штриховой линии, представляющей значение эксцентрикитета равновесной капли для данного v . Исходное значение $v_* \approx 2,5$. По экспериментальным данным [16], $v_* \approx 2,28$, по [6] $v_* \approx 2,59 \pm 0,08$, по [9] $v_* \approx 2,22$ и по [10] $v_* \approx 2,56$.

5. Интересно отметить слабую зависимость рассчитанных значений критического параметра v_* от количества учтенных членов аппроксимации (2.5) выражения (2.4). Численный анализ показывает, что отличие приближенного значения (2.5) от точного (2.4), как и следовало ожидать, сильно зависит от e^2 , а также от угла θ , достигая максимального значения при $\theta^\circ=45; 135$ и обращаясь в нуль при $\theta^\circ=0; 90; 180$.

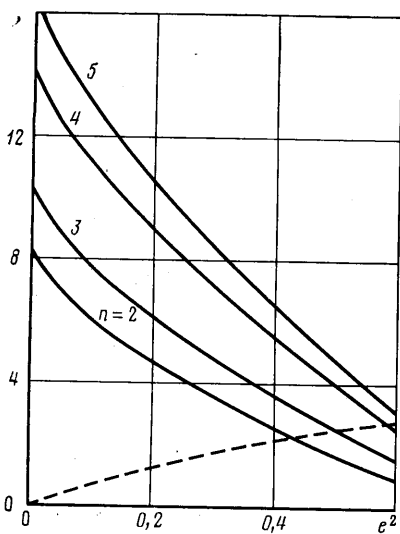
На фиг. 2 сплошной линией нанесена зависимость максимальной относительной ошибки γ , допускаемой при замене (2.4) на (2.5), от e^2 при $e^2 \leq 0,6$, $\theta^\circ=45; 135$. Штриховой линией на том же графике приведена зависимость γ от e^2 , если в (2.5) ограничиться первым членом, т. е. взять

$$\frac{\partial f}{\partial t} \approx E_0^2 K \cos^2 \theta \frac{\partial^2 \Psi}{\partial r^2} \quad (5.1)$$

Максимальная относительная ошибка при этом значительно больше ошибки, допускаемой при замене (2.4) на (2.5), и сильно растет с увеличением e^2 .

На фиг. 3 представлены критические значения параметра v , рассчитанные с использованием аппроксимации (5.1). Выбрасывание струй в этой аппроксимации происходит при критическом значении $v_*=2, 3$, что дает ошибку в определении v_* 8 %. По-видимому, такая слабая зависимость v_* от вида аппроксимации выражения (2.4) связана с тем, что критические условия появления неустойчивости в основном определяются силами, действующими вдоль оси симметрии капли (вдоль направления поля E_0), а при $\theta^\circ=0; 180$ и (2.5) и (5.1) совпадает с (2.4).

В реальных условиях в грозовых облаках не очень крупной капле обеспечена вытянутая форма уже в силу ее аэродинамического взаимодействия с окружающим воздухом. Так как критические условия появле-



Фиг. 3

членов аппроксимации (2.5) выражения (2.4). Численный анализ показывает, что отличие приближенного значения (2.5) от точного (2.4), как и следовало ожидать, сильно зависит от e^2 , а также от угла θ , достигая максимального значения при $\theta^\circ=45; 135$ и обращаясь в нуль при $\theta^\circ=0; 90; 180$.

На фиг. 2 сплошной линией нанесена зависимость максимальной относительной ошибки γ , допускаемой при замене (2.4) на (2.5), от e^2 при $e^2 \leq 0,6$, $\theta^\circ=45; 135$. Штриховой линией на том же графике приведена зависимость γ от e^2 , если в (2.5) ограничиться первым членом, т. е. взять

$$\frac{\partial f}{\partial t} \approx E_0^2 K \cos^2 \theta \frac{\partial^2 \Psi}{\partial r^2} \quad (5.1)$$

Максимальная относительная ошибка при этом значительно больше ошибки, допускаемой при замене (2.4) на (2.5), и сильно растет с увеличением e^2 .

На фиг. 3 представлены критические значения параметра v , рассчитанные с использованием аппроксимации (5.1). Выбрасывание струй в этой аппроксимации происходит при критическом значении $v_*=2, 3$, что дает ошибку в определении v_* 8 %. По-видимому, такая слабая зависимость v_* от вида аппроксимации выражения (2.4) связана с тем, что критические условия появления неустойчивости в основном определяются силами, действующими вдоль оси симметрии капли (вдоль направления поля E_0), а при $\theta^\circ=0; 180$ и (2.5) и (5.1) совпадает с (2.4).

В реальных условиях в грозовых облаках не очень крупной капле обеспечена вытянутая форма уже в силу ее аэродинамического взаимодействия с окружающим воздухом. Так как критические условия появле-

ния неустойчивости сильно зависят от величины эксцентрикитета (см. фиг. 1), то выброс каплями струек во внешнем электрическом поле может происходить при значениях критического параметра v_* , даже меньших 2,5, если удлинение капли вдоль внешнего поля за счет аэродинамических условий будет достаточно большим.

Полученные данные позволяют объяснить результаты экспериментов [7, 9], где была обнаружена зависимость между аэродинамической деформацией капли и критическим значением поля, при котором выбрасываются струи.

Метод расчета критических условий неустойчивости, использованный в работе, был предложен в [18] и является развитием метода, которым решалась в [15] задача о спектре капиллярных волн в сферической капле.

В заключение авторы благодарят Ю. Б. Кузмичева за помощь в численных расчетах.

ЛИТЕРАТУРА

1. Мучник В. М., Фишман Б. Е. Электризация грубодисперсных аэрозолей в атмосфере. Л.: Гидрометеоиздат, 1982. 208 с.
2. Hogan J. J., Hendricks C. D. Investigation of the charge-to-mass ratio of electrically sprayed liquid particles. — AIAA Journal, 1965, v. 3, № 2, p. 296–301.
3. Rayleigh R. On the equilibrium of liquid conducting masses charged with electricity. — Philosophical magasin, 1882, v. 14, p. 184–186.
4. Taylor G. Disintegration of water drops in an electric field. — Proc. Roy. Soc. London, 1964, v. A 280, № 1382, p. 383–397.
5. Габович М. Д. Жидкометаллические эмиттеры ионов. — Усп. физ. наук, 1983, т. 140, № 1, с. 137–151.
6. Pfeifer R. J., Hendricks C. D. Parametric studies of electrohydrodynamic spraying. — AIAA Journal, 1968, v. 6, № 3, p. 496–502.
7. Richards C. N., Dawson G. A. The hydrodynamic instability of water drops falling at terminal velocity in vertical electric fields. — J. Geophys. Res., 1971, v. 76, № 15, p. 3446–3455.
8. Wilson C. T. R., Taylor G. The bursting of soap – bubbles in a uniform electric field. — Proc. Cambr. Philos. Soc., 1925, v. 22, № 5, p. 728–730.
9. Macky W. A. Some investigation on the deformation and breaking of water drops in strong electric fields. — Proc. Roy. Soc. London, 1931, v. A133, № 822, p. 565–587.
10. Garton C. G., Krasucki Z. Bubbles in insulating liquids: stability in an electric field. — Proc. Roy. Soc. London, 1964, v. A280, № 1381, p. 211–226.
11. O'Konski C. T., Thacher H. C. The distortion of aerosol droplets by an electric field. — J. Phys. Chemistry, 1953, v. 57, № 9, p. 955–958.
12. Ландau Л. Д., Либшиц Е. М. Электродинамика сплошных сред. М.: Наука, 1982. 623 с.
13. Торза С., Кокс Р., Мейсон С. Электротехнологическая деформация и разрыв капель. — В сб.: Регология суспензий. М.: Мир, 1975, с. 285–333.
14. Френкель Я. И. К теории Тонкса о разрыве поверхности жидкости постоянным электрическим полем в вакууме. — ЖЭТФ, 1936, т. 6, № 4, с. 347–350.
15. Ландau Л. Д., Либшиц Е. М. Механика сплошных сред. М.–Л.: Гостехиздат, 1944. 624 с.
16. Zeleny J. The electrical discharge from liquid points and a hydrostatic method of measuring the electric intensity at their surface. — Amer. Phys. Soc. Rev., 1914, v. 3, № 2, p. 69–91.
17. Бете Г., Солитер Э. Квантовая механика атомов с одним и двумя электронами. М.: Физматгиз, 1960. 562 с.
18. Стаканов И. П. Об устойчивости шаровой молнии. — Журн. техн. физики, 1974, т. 44, № 7, с. 1373–1379.

Поступила в редакцию
19.VI.1984

Москва